

REC'D 05 APR 2004
WIPO PCT

PCT/FR 2004/000091



BREVET D'INVENTION

CERTIFICAT D'UTILITÉ - CERTIFICAT D'ADDITION

COPIE OFFICIELLE

Le Directeur général de l'Institut national de la propriété industrielle certifie que le document ci-annexé est la copie certifiée conforme d'une demande de titre de propriété industrielle déposée à l'Institut.

Fait à Paris, le 20 JAN. 2004

Pour le Directeur général de l'Institut
national de la propriété industrielle
Le Chef du Département des brevets

Martine PLANCHE

DOCUMENT DE PRIORITÉ

PRÉSENTÉ OU TRANSMIS
CONFORMÉMENT À LA
RÈGLE 17.1.a) OU b)

INSTITUT
NATIONAL DE
LA PROPRIÉTÉ
INDUSTRIELLE

SIEGE
26 bis, rue de Saint Petersbourg
75800 PARIS cedex 08
Téléphone : 33 (0)1 53 04 53 04
Télécopie : 33 (0)1 53 04 45 23
www.inpi.fr



INSTITUT
NATIONAL DE
LA PROPRIÉTÉ
INDUSTRIELLE

26 bis, rue de Saint Pétersbourg
75800 Paris Cedex 08
Téléphone : 01 53 04 53 04 Télécopie : 01 42 94 86 54

BREVET D'INVENTION

CERTIFICAT D'UTILITÉ

Code de la propriété intellectuelle - Livre VI



N° 11354*01

REQUÊTE EN DÉLIVRANCE 1/2

Cet imprimé est à remplir lisiblement à l'encre noire

DB 540 W /260899

Réservé à l'INPI	
REMISE DES PIÈCES DATE 18 MARS 2003	
LIEU 75 INPI PARIS	
N° D'ENREGISTREMENT 0303305	
NATIONAL ATTRIBUÉ PAR L'INPI	
DATE DE DÉPÔT ATTRIBUÉE PAR L'INPI 18 MARS 2003	
Vos références pour ce dossier (facultatif) 63008	
Confirmation d'un dépôt par télécopie <input type="checkbox"/> N° attribué par l'INPI à la télécopie	
2. NATURE DE LA DEMANDE <input type="checkbox"/> Cochez l'une des 4 cases suivantes	
Demande de brevet <input checked="" type="checkbox"/>	
Demande de certificat d'utilité <input type="checkbox"/>	
Demande divisionnaire <input type="checkbox"/>	
<i>Demande de brevet initiale</i> <i>ou demande de certificat d'utilité initiale</i>	
Nº <input type="text"/> Date <input type="text"/> / <input type="text"/> / <input type="text"/> Nº <input type="text"/> Date <input type="text"/> / <input type="text"/> / <input type="text"/>	
Transformation d'une demande de brevet européen <i>Demande de brevet initiale</i> <input type="checkbox"/> Nº <input type="text"/> Date <input type="text"/> / <input type="text"/> / <input type="text"/>	
3. TITRE DE L'INVENTION (200 caractères ou espaces maximum) HACHEUR SERIE A COMMUTATION SYNCHRONE ET FAIBLES PERTES	
4. DÉCLARATION DE PRIORITÉ OU REQUÊTE DU BÉNÉFICE DE LA DATE DE DÉPÔT D'UNE DEMANDE ANTÉRIEURE FRANÇAISE	
Pays ou organisation Date <input type="text"/> / <input type="text"/> / <input type="text"/> Nº <input type="text"/> Pays ou organisation Date <input type="text"/> / <input type="text"/> / <input type="text"/> Nº <input type="text"/> Pays ou organisation Date <input type="text"/> / <input type="text"/> / <input type="text"/> Nº <input type="text"/> <input type="checkbox"/> S'il y a d'autres priorités, cochez la case et utilisez l'imprimé «Suite»	
5. DEMANDEUR <input type="checkbox"/> S'il y a d'autres demandeurs, cochez la case et utilisez l'imprimé «Suite»	
Nom ou dénomination sociale THALES	
Prénoms	
Forme Juridique S.A.	
N° SIREN 15 .5 .2 .0 .5 .9 .0 .2 .4	
Code APE-NAF . . .	
Adresse	Rue 173, Boulevard Haussmann
	Code postal et ville 75008 PARIS
Pays FRANCE	
Nationalité Française	
N° de téléphone (facultatif)	
N° de télécopie (facultatif)	
Adresse électronique (facultatif)	

**BREVET D'INVENTION
CERTIFICAT D'UTILITÉ**

REQUÊTE EN DÉLIVRANCE 2/2

REMISE DES PIÈCES	Réservé à l'INPI
DATE	18 MARS 2003
LEU	75 INPI PARIS
N° D'ENREGISTREMENT	0303305
NATIONAL ATTRIBUÉ PAR L'INPI	

DB 540 W /260899

Vos références pour ce dossier : (facultatif)		63008	
1 MANDATAIRE			
Nom		DOMINGUEZ	
Prénom		Mariano	
Cabinet ou Société		THALES - INTELLECTUAL PROPERTY	
N° de pouvoir permanent et/ou de lien contractuel		8325	
Adresse	Rue	31-33, Avenue Aristide Briand	
	Code postal et ville	94117	ARCUEIL CEDEX
N° de téléphone (facultatif)		01 41 48 45 20	
N° de télécopie (facultatif)		01 41 48 45 01	
Adresse électronique (facultatif)		mariano.dominguez@thalesgroup.com	
2 INVENTEUR (S)			
Les inventeurs sont les demandeurs		<input type="checkbox"/> Oui <input checked="" type="checkbox"/> Non Dans ce cas fournir une désignation d'inventeur(s) séparée	
3 RAPPORT DE RECHERCHE			
Établissement immédiat ou établissement différé		<input type="checkbox"/> <input type="checkbox"/>	
Paiement échelonné de la redevance		Paiement en trois versements, uniquement pour les personnes physiques	
<input type="checkbox"/> Oui <input checked="" type="checkbox"/> Non			
4 RÉDUCTION DU TAUX DES REDEVANCES		Uniquement pour les personnes physiques <input type="checkbox"/> Requise pour la première fois pour cette invention (joindre un avis de non-imposition) <input type="checkbox"/> Requise antérieurement à ce dépôt (joindre une copie de la décision d'admission pour cette invention ou indiquer sa référence) :	
Si vous avez utilisé l'imprimé «Suite», indiquez le nombre de pages jointes			
5 SIGNATURE DU DEMANDEUR OU DU MANDATAIRE (Nom et qualité du signataire)		VISA DE LA PRÉFECTURE OU DE L'INPI P. BERNOUIS	
Mariano DOMINGUEZ			

HACHEUR SERIE A COMMUTATION SYNCHRONE ET FAIBLES PERTES

5 L'invention concerne un hacheur série ou « buck converter » en langue anglaise, permettant d'obtenir, à partir d'une tension continue d'alimentation, une autre tension continue de plus faible valeur.

Les nouveaux composants électroniques sont alimentés avec des tensions de plus en plus faibles (2.5V, 1.8V actuellement et probablement 10 1.2V et 0.8V bientôt), les besoins en puissance vers les très basses tensions augmentent et deviennent majoritaires par rapport aux tensions classiques +/-15V et +5V.

Les courants consommés deviennent de plus en plus importants car la puissance consommée par les utilisateurs est toujours la même ou augmente 15 (fonctionnalités plus nombreuses).

Les tensions inférieures à 3.3V ne sont pas distribuées et sont implantées directement sur les cartes utilisatrices. L'alimentation se déporte au plus proche des utilisateurs.

Cette tendance oblige les fournisseurs d'alimentations à réaliser des 20 convertisseurs générant des rapports entre tension d'entrée et tension de sortie de plus en plus importants.

Les structures utilisées sont généralement des convertisseurs à découpage non isolés pour conserver des rendements élevés et des convertisseurs de faibles dimensions. Ces convertisseurs peuvent 25 difficilement faire, avec une structure de type abaisseur, un rapport de transformation supérieur à 10 avec des rendements supérieurs à 90%.

Pour permettre au marché de remplir ses exigences d'intégration, il faut pouvoir fournir ces nouveaux convertisseurs dans des surfaces toujours plus petites et donc avec des rendements de plus en plus importants pour ne 30 pas augmenter la taille des dissipateurs.

Parmi les structures des convertisseurs on trouve les hacheurs série ou « buck converter ».

La figure 1a montre un schéma de principe d'un « buck converter ».

Le circuit de la figure 1a, est alimenté par une tension continue 35 d'entrée V_{in} et fournit une tension de sortie V_{out} sur une charge R_{out} en

parallèle avec une capacité C_{out} . Un commutateur 10 permet d'appliquer à une borne d'une self de sortie L_{out} connectée par son autre borne à une des bornes de la résistance de charge R_{out} , soit le potentiel positif de la tension d'entrée V_{in} soit le potentiel négatif pendant des temps respectifs T_{on} et 5 T_{off} . La figure 1b montre les temps de fermeture T_{on} et d'ouverture T_{off} de l'interrupteur 10. L'autre borne de la résistance de charge R_{out} est connectée au potentiel négatif de la tension d'entrée V_{in} . On supposera par la suite que le potentiel négatif de V_{in} est 0 volt.

10 Les diagrammes des figures 1c, 1d et 1e montrent le principe de fonctionnement du « buck converter ».

On suppose que le commutateur 10 est commuté avec une fréquence de période T , avec $T=T_{on}+T_{off}$ (voir figure 1C). La période T peut être de valeur constante ou variable.

15 La tension V_I aux bornes de la self L_{out} est :

$V_I = V_{in} - V_{out}$, pendant le temps T_{on} et

$V_I = -V_{out}$, pendant le temps T_{off}

La tension moyenne V_m de la tension de sortie V_{out} aux bornes de la résistance R_{out} sera donc comprise entre V_{in} et 0 volt en fonction du rapport cyclique T_{off}/T et sera donnée par $V_m = (T_{on}/T).V_{in}$.

20 La tension V_{out} est constante au niveau de sa valeur moyenne V_m . Le courant I_{out} dans la self L_{out} se présentant sous forme de rampes pendant les temps T_{on} et T_{off} . Une diode D assure la continuité du courant dans la self lors des commutations.

25 Dans le diagramme de la figure 1c on a représenté $T_{on} = T/2$ et par conséquent $V_{out} = V_{in}/2$.

Les diagrammes des figures 1d et 1e montrent respectivement deux valeurs de tension moyenne V_{m1} et V_{m2} aux bornes de la résistance de charge R_{out} pour deux valeurs du temps T_{on} :

- dans le diagramme de la figure 1d : $T_{on}/T = 0,9$ et,

30 - dans le diagramme de la figure 1e : $T_{on}/T = 0,1$.

En d'autres termes, lorsque T_{on}/T est faible, l'énergie fournie par la source d'alimentation, pendant le court instant T_{on} , est faible, produisant une faible tension moyenne aux bornes de la charge, à contrario, lorsque T_{on} est proche de la période T la charge est quasi-constamment connectée à la

source d'alimentation, la tension moyenne de sortie est proche de la tension continue d'entrée.

Dans un autre type de fonctionnement du « buck converter », on maintient le temps T_{on} constant et on change la fréquence de commutation 5 c'est-à-dire la période T de commutation pour rendre le rapport T_{on}/T variable.

En pratique, les interrupteurs sont réalisés par deux semi-conducteurs en série, par exemple deux interrupteurs MOS, commandés par des signaux complémentaires à la fréquence $1/T$.

10 Les hacheurs série de l'état de l'art présentent néanmoins des limitations. En effet, un rapport cyclique T_{on}/T de 0,1 est un minimum pouvant être aujourd'hui obtenu avec des performances acceptables de rendement et de fiabilité. Mais lorsque l'on veut obtenir une tension de sortie inférieure au dixième de la tension d'entrée, les temps de conduction T_{on} du 15 semi-conducteur fourissant l'énergie à la charge deviennent très courts et les interrupteurs deviennent très difficiles à commander. En outre, si la tension de sortie diminue, pour une même puissance délivrée à la charge, les courants dans les semi-conducteurs deviennent importants, aux limites de leurs possibilités, avec une perte de rendement du convertisseur.

20 Un autre moyen pour obtenir un rapport entre la tension d'entrée et la tension de sortie, bien supérieur à 10, consiste à réaliser un dispositif abaisseur de tension comportant deux hacheurs en cascade. Dans ce dispositif, la tension de sortie d'un premier hacheur est appliquée à l'entrée d'un second hacheur. Ainsi on peut obtenir des rapports entre la tension 25 d'entrée et la tension de sortie du dispositif beaucoup plus importants que ceux obtenus par un seul hacheur. Néanmoins, un tel dispositif abaisseur comportant deux hacheurs en cascade présente un rendement global inférieur au rendement d'un seul hacheur et un coût de réalisation plus important.

30 Afin de pallier les inconvénients des hacheurs série de l'état antérieur, l'invention propose un hacheur série comportant :

- une paire de bornes d'entrée A et B pour connecter une tension continue d'entrée V_{in} entre ces deux bornes, le potentiel de la borne A étant supérieur au potentiel de la borne B ;

- une paire P_0 d'interrupteurs SB, SH en série connectée par l'interrupteur SB à la borne d'entrée B, chaque interrupteur SB, SH comportant une entrée de commande pour être mis simultanément, l'un dans un état passant par l'application à son entrée de commande d'un premier signal de commande, l'autre dans un état isolé par l'application à son entrée de commande d'un second signal de commande complémentaire du premier ;

- une paire de bornes de sortie C et D, pour alimenter, par une tension de sortie V_{out} , une charge R_{out} , la borne de sortie D étant connectée à la borne d'entrée B et la borne de sortie C au point de connexion entre les deux interrupteurs SB et SH en série à travers une self de filtrage L_{out} , caractérisé en ce qu'il comporte :

- K autres paires supplémentaires $P_1, P_2, \dots, P_i, \dots, P_{K-1}, P_K$ d'interrupteurs en série entre la borne d'entrée A et l'interrupteur SH de la paire P_0 , avec $i = 1, 2, \dots, K-1, K$, les deux interrupteurs d'une même paire supplémentaire P_i étant connectés en série à travers une self de récupération d'énergie L_{r_i} ;

- K groupes d'entrée, $G_{in_1}, G_{in_2}, \dots, G_{in_i}, \dots, G_{in_K-1}, G_{in_K}$, de N_i capacités C de même valeur en série chacun, avec $i = 1, 2, \dots, K-1, K$ et $N_i = (K+1)-i$, l'électrode des capacités d'une des deux extrémités de chaque groupe d'entrée $G_{in_1}, G_{in_2}, \dots, G_{in_i}, \dots, G_{in_K-1}, G_{in_K}$ étant connectée à la borne d'entrée A, au moins l'électrode des capacités de chacune des autres extrémités des groupes d'entrée $G_{in_1}, G_{in_2}, \dots, G_{in_i}, \dots, G_{in_K-1}, G_{in_K}$ étant connectée respectivement au point de connexion entre deux paires d'interrupteurs consécutives $P_{(i-1)}$ et P_i ;

- K groupes de sortie, $G_{out_1}, G_{out_2}, \dots, G_{out_i}, \dots, G_{out_K-1}, G_{out_K}$, de M_i capacités C de même valeur en série chacun, avec $i = 1, 2, \dots, K$ et $M_i = i$, l'électrode des capacités d'une des deux extrémités de chaque groupe de sortie $G_{out_1}, G_{out_2}, \dots, G_{out_i}, \dots, G_{out_K-1}, G_{out_K}$ étant connectée au point commun entre les deux interrupteurs de la paire P_0 , au moins l'électrode des capacités de chacune des autres extrémités des groupes de sortie $G_{out_1}, G_{out_2}, \dots, G_{out_i}, \dots, G_{out_K}$ étant connectée respectivement au point commun entre chaque interrupteur SH_i et la self de récupération L_{r_i} de la paire correspondante P_i de même rang i ,

en ce que les interrupteurs de ces autres K paires supplémentaires sont commandés simultanément par les premiers et seconds signaux de commande complémentaires formant, lorsque l'interrupteur SB de la paire P_0 relié à la borne B est commandé dans l'état passant pendant un temps

5 Toff, un premier réseau de capacités connecté entre la borne A et la borne B, comportant les groupes de capacités d'entrée en série avec les groupes de capacités de sortie tels qu'un groupe de capacités d'entrée Gin_i est en série, à travers sa respective self de récupération d'énergie Lr_i , avec son respectif groupe de capacités de sortie $Gout_i$,

10 et en ce que lorsque l'interrupteur SB de la paire P_0 relié à la borne d'entrée B est commandé dans l'état isolé, SH étant commandé à l'état passant, pendant un temps Ton , ces autres K paires d'interrupteurs forment un second réseau de capacités connecté entre la borne A et la self de filtrage de sortie $Lout$ comportant le groupe d'entrée Gin_1 en parallèle avec le

15 groupe de sortie $Gout_K$, en parallèle avec des groupes de capacités d'entrée en série avec des groupes de capacités de sortie tels qu'un groupe de capacités d'entrée Gin_i se trouve en série avec un groupe de capacités de sortie $Gout_{(i-1)}$.

La tension $Vout$ en sortie du hacheur est fonction du rapport cyclique

20 Ton/T , les capacités C des réseaux ayant une même valeur, la tension $Vout$ est donnée par la relation :

$$Vout = Vin \cdot (Ton/T) \cdot 1/(K+1) \quad \text{avec une fréquence de découpage de la tension d'entrée } Vin \text{ de période } T = Ton + Toff.$$

L'invention sera mieux comprise à l'aide d'exemples de réalisations

25 selon l'invention, en référence aux dessins indexés, dans lesquels :

- la figure 1a, déjà décrite, représente le schéma de principe d'un hacheur série abaisseur de tension ;
- les figures 1b, 1c, 1d et 1e montrent des diagrammes d'état de commande du hacheur de la figure 1a ;

30 - la figure 2 montre la structure générale du hacheur selon l'invention comportant K paires d'interrupteurs supplémentaires ;

- la figure 3 montre une structure d'un hacheur série comportant deux paires d'interrupteurs sans les selfs Lr_i de récupération ;
- la figure 4 montre le hacheur de la figure 3 dans une configuration

35 plus réaliste ;

- la figure 5 représente les pertes en watts dans le cas du hacheur de la figure 3 alimenté par une source de tension parfaite et par une source réelle ;
- la figure 6 montre les courbes des pertes en watts pour différentes 5 tensions de sortie V_{out} du hacheur de la figure 4 ;
- la figure 7 montre les variations de pertes de puissance de la figure 5 exprimées en pourcentage de la puissance fournie par le hacheur ;
- la figure 8 montre les variations de pertes de puissance de la figure 6 exprimées en pourcentage de la puissance fournie par le hacheur ;
- 10 - la figure 9a montre un hacheur selon l'invention dans une structure comportant deux paires d'interrupteurs et dans la configuration plus réaliste de la figure 4 ;
- la figure 10 montre un schéma équivalent du hacheur de la figure 9a selon l'invention pendant la période T_{off} ;
- 15 - la figure 11 montre les signaux de commande des interrupteurs du hacheur de la figure 9a pendant les temps T_{off} et T_{on} ;
- la figure 12 montre, pendant le temps T_{off} , la variation du courant I_{lr_1} dans la self de récupération d'énergie L_{r_1} ;
- la figure 13 représente l'espace énergétique dans la self de 20 récupération L_{r_1} et dans les capacités C_e, C_s du hacheur ;
- la figure 14 montre la variation de la valeur de la tension V_{in} aux bornes du hacheur selon l'invention ;
- les figures 15 et 16 représentent deux structures pratiques du hacheur série selon l'invention ;
- 25 - la figure 17 représente une variante du hacheur série de la figure 9a selon l'invention

La figure 2 montre la structure générale du hacheur selon l'invention comportant K paires d'interrupteurs supplémentaires. Le hacheur de la figure 2 comporte, en outre, la diode D de retour de courant aux bornes de 30 l'interrupteur SB dont l'anode est connectée du côté des bornes B et D et une capacité C_{out} de filtrage de sortie en parallèle sur la charge R_{out} entre les bornes de sortie C et D .

~~Dans la structure générale du hacheur selon l'invention de la figure 2 les tensions V_c aux bornes des capacités des groupes d'entrée ou des~~

groupes de sortie ont une même valeur continue, ainsi, les capacités situées à un même niveau de potentiel peuvent être reliées entre elles.

Pour expliquer l'amélioration du rendement du hacheur série selon l'invention apportée par les selfs de récupération Lr_i , connectées entre les 5 deux interrupteurs de chacune des paires supplémentaires, dans une première étape de cette explication, la figure 3 montre une structure d'un hacheur série comportant deux paires d'interrupteurs sans les selfs Lr_i de récupération, les interrupteurs de chaque paire étant dans ce cas connectés directement en série, la tension d'alimentation Vin étant supposée provenir 10 d'un générateur Ep parfait dont la tension est indépendante du courant débité.

Le hacheur de la figure 3 comporte deux paires P_0 et P_1 , chacune des paires ayant deux interrupteurs connectés en série, les interrupteurs SB , SH pour la paire P_0 et les interrupteurs SB_1 , SH_1 pour la paire 15 supplémentaire P_1 . Chaque interrupteur d'une paire comporte une entrée de commande pour être mis simultanément, l'un dans un état passant par l'application à son entrée de commande d'un premier signal de commande $C1$, l'autre dans un état isolé par l'application à son entrée de commande d'un second signal de commande $C2$ complémentaire du premier ;

20 Pour expliquer le fonctionnement du hacheur de la figure 3, la capacité du groupe d'entrée Gin sera désignée Ce et la capacité du groupe de sortie $Gout$ par Cs .

Au début de la phase de conduction des interrupteurs SH et SH_1 de 25 chacune des deux paires, la tension Vce aux bornes de la capacité Ce d'entrée et la tension Vcs aux bornes de la capacité de sortie Cs sont égales à $Vin/2$, Ce et Cs ayant la même valeur égale à $C1$.

A la fin de la phase de conduction Vce et Vcs sont toujours égales mais leurs valeurs deviennent :

$$30 \quad Vce = Vcs = \frac{Vin}{2} + \frac{1}{C1} \cdot \frac{Iout}{2} \cdot ton$$

avec $Iout$ courant dans la résistance de charge $Rout$ du hacheur
Ton temps de conduction de SH et SH_1

Lors de la phase suivante de conduction des interrupteurs SB et SB_1 des deux paires (Toff), la somme des tensions aux bornes des capacités Ce et Cs est ramenée à la même valeur avec :

5 $V_{ce} = V_{cs} = \frac{V_{in}}{2}$

On a donc une perte d'énergie due au rééquilibrage résistif des capacités Ce et Cs à travers les interrupteurs SB et SB_1.

10 Les pertes de ce rééquilibrage augmentent avec le courant débité Iout et avec le rapport cyclique.

Ces pertes sont données par la relation (1) :

$$P(w) = \frac{I_{out}^2 \cdot V_{out}^2}{F \cdot C1 \cdot V_{in}^2}$$

Avec :

15 $V_{in} = 32 \text{ volts}$
 $V_{out} = 5 \text{ volts}$
 $I_{out} = 10 \text{ ampères}$
 $C1 = 10 \text{ microfarads}$
 $F = 350 \text{ KHz}$

20 Les pertes sont de 1,163 watts pour une puissance de sortie de 50 watts, soit environ, 2.3% de la puissance de sortie.

25 La figure 4 montre le hacheur de la figure 3 dans une configuration plus réaliste. En effet, l'alimentation du hacheur comporte le générateur Ep de tension en série avec une self d'entrée Lin de la connectique d'alimentation et une capacité de filtrage d'entrée Cin en parallèle entre les deux bornes d'entrée A et B du hacheur.

30 Dans cette configuration de la figure 4, on observe le même accroissement de tension Vce et Vcs sur les respectives capacités Ce et Cs pendant la phase de conduction des interrupteurs SH et SH_1, avec en plus une diminution de la tension aux bornes de la capacité d'entrée Cin de :

$$\Delta V_{cin} = -\frac{I_{out}}{Cin} \cdot t_{on}$$

Lors de la fermeture de SB et SB_1 nous avons aussi un rééquilibrage résistif et donc dissipatif de Cin, Ce et Cs.

Les pertes de rééquilibrage dans le cas du hacheur de la figure 4 plus réaliste sont données par l'équation (2) :

$$P(w) = \frac{F}{2} \cdot \left[C_{in} \cdot \left(V_{in} - \frac{2 \cdot I_{out} \cdot V_{out}}{F \cdot C_{in} \cdot V_{in}} \right)^2 + \frac{C_1}{2} \cdot \left(V_{in} - \frac{2 \cdot I_{out} \cdot V_{out}}{F \cdot C_1 \cdot V_{in}} \right)^2 \right. \\ \left. - \left(C_{in} + \frac{C_1}{2} \right) \cdot \left(V_{in} - \frac{2 \cdot I_{out} \cdot V_{out}}{F \cdot C_{in} \cdot V_{in}} + \frac{C_1 + C_{in}}{2 \cdot C_{in} + C_1} \cdot \frac{2 \cdot I_{out} \cdot V_{out}}{F \cdot C_{in} \cdot V_{in}} \right)^2 \right]$$

5

Avec :

$$V_{in} = 32 \text{ volts}$$

$$V_{out} = 5 \text{ volts}$$

$$I_{out} = 10 \text{ ampères}$$

$$10 \quad C_{in} = 6 \text{ microfarads}$$

$$C_1 = 6 \text{ microfarads}$$

$$F = 350 \text{ KHz}$$

Les pertes sont de 3,1 watts pour une puissance de sortie de 50 watts, soit environ, 6.2% de la puissance de sortie, donc une perte trois fois plus élevée que dans le cas du circuit avec alimentation parfaite de la figure 3.

On notera que la limite de cette équation (2) lorsque C_{in} tend vers l'infini est l'équation d'une tension d'entrée V_{in} parfaite. En pratique, nous sommes limités par la taille et le coût de la capacité de filtrage d'entrée C_{in} .
20 Nous aurons bien dans la pratique une perte trois fois plus importante que dans le cas théorique représenté à la figure 3.

Ce résultat avec $K=1$ est généralisable à des hacheurs comportant plus d'une paire supplémentaire.

La figure 5 montre les pertes $P(w)$ en watts en fonction du courant de sortie I_{out} dans la charge R_{out} pour une tension V_{out} de 5 volts..
25

La courbe $C_p(w)$ de la figure 5 représente les pertes en watts dans le cas du hacheur de la figure 3 alimenté par une source de tension parfaite. La courbe $C_r(w)$ de la même figure 5 représente les pertes en watts dans le cas du hacheur de la figure 4 plus réaliste.

La figure 7 montre les variations de pertes de puissance de la figure 5 exprimées en pourcentage de la puissance fournie par le hacheur. Courbes $C_p(\%)$ et $C_r(\%)$

Dans le cas des figures 5 et 7, les pertes $P(w)$ sont calculées pour les 5 valeurs des paramètres suivants :

Vin = 32 volts

V_{out} = 5 volts

I_{out} = 10 ampères

C_{in} = 6 microfarads

10 C1 = 6 microfarads

$F = 350$ KHz, F étant la fréquence de découpage du

hacheur.

La figure 6 montre les courbes des pertes $P(w)$ en watts pour

La figure 3 montre les résultats obtenus pour les différentes tensions de sortie. Vout du bacheur de la figure 4 plus réaliste, les

autres paramètres étant identiques à ceux de la réalisation de la figure 3.

La figure 8 montre les variations de parts de puissance de la figure 6.

La figure 3 montre les variations de pente de puissance de la figure 2 en fonction de la puissance fournie par le bouchage.

La figure 9a montre un hacheur selon l'invention dans une structure comportant deux paires d'interrupteurs et dans la configuration plus réaliste de la figure 4 au niveau de l'alimentation. L'alimentation, fournissant la tension d'alimentation V_{in} du hacheur, comporte le générateur E_p de tension en série avec la self d'entrée Lin et la capacité de filtrage Cin en parallèle entre les deux bornes d'entrée A et B du hacheur.

Le hacheur de la figure 9a comporte la paire P_0 ayant les deux interrupteurs SB et SH connectés en série et la paire supplémentaire P_1 ayant les deux interrupteurs SB_1 et SH_1 connectés en série à travers une self de récupération d'énergie Lr_1.

Nous allons, par la suite, expliquer le fonctionnement du hacheur série de la figure 9a selon l'invention.

30 La figure 10 montre un schéma équivalent du hacheur de la figure 9a selon l'invention pendant la période Toff correspondant à la période de conduction des interrupteurs des deux paires SB et SB_1. Pendant ce temps Toff les interrupteurs SB et SB_1 sont fermés, les interrupteurs SH et SH_1 sont ouverts, la capacité d'entrée Cin est en parallèle avec les deux 35 capacités Ce et Cs en série avec la self-Lr_1 de récupération.

La self de récupération Lr_1 est calculée pour obtenir une résonance du circuit oscillant de la figure 10 telle que :

$$Toff = \pi \sqrt{Lr_1 \cdot Ceq}$$

avec

$$Ceq = \frac{1}{\frac{1}{Cin} + \frac{1}{Ce} + \frac{1}{Cs}}$$

On considère que $Toff$ est constant et égal à environ la demi-
5 période de la fréquence de résonance du circuit équivalent de la figure 10.

La figure 11 montre les signaux de commande des interrupteurs du hacheur de la figure 9a pendant les temps $Toff$ et Ton .

La figure 12 montre pendant le temps $Toff$, la variation du courant Ilr_1 dans la self de récupération d'énergie Lr_1 ainsi que la somme des tensions ($Vce + Vcs$) aux bornes des respectives capacités Ce et Cs .
10

Au temps $t1$ lors du passage de Ton à $Toff$, le courant dans la self est nul, la tension ($Vce + Vcs$) aux bornes des capacités Ce et Cs est supérieure à la valeur moyenne $Vinm$ de Vin et décroît en passant par la valeur moyenne de Vin , le courant dans la self augmente en emmagasinant 15 de l'énergie magnétique, passe par une valeur maximum lorsque ($Vce + Vcs$) passe par la valeur moyenne de Vin , puis le courant décroît jusqu'à une valeur nulle, correspondant à la fin de $Toff$, rendant l'énergie aux capacités Ce et Cs . Le courant dans la self devenant nul, la somme des tensions (10 $Vce + Vcs$) s'accroît, pendant le temps Ton , au-dessus de la valeur moyenne de Vin puis le cycle recommence au début de $Toff$.
20

La figure 13 représente l'espace énergétique dans la self de récupération Lr_1 et dans les capacités Ce , Cs du hacheur. L'axe des abscisses représente l'énergie des capacités Wc l'axe des ordonnées l'énergie dans la self Wlr_1 , la variation d'énergie entre la self et les 25 capacités se produisant dans le temps $Toff$. Pendant cette phase $Toff$, la variation de l'énergie dans les capacités et dans la self produit une faible variation de la valeur moyenne de la tension Vin . L'énergie est transférée des capacités vers la self de récupération puis rendue aux capacités.
20

L'accord du circuit du hacheur à la fréquence de fonctionnement avec 30 la self de récupération Lr_1 diminue considérablement les pertes résistives

dans le circuit du hacheur série selon l'invention. Ces pertes deviennent alors pratiquement nulles.

La figure 14 montre la variation de la valeur de la tension V_{in} aux bornes du hacheur selon l'invention.

5 Pendant le temps T_{off} la tension V_{in} varie selon $(V_{cs}+V_{ce})$,
de $+\Delta v$ à $-\Delta v$ puis pendant T_{on} la tension varie de $-\Delta v$ à Δv en fonction du courant de sortie I_{out} , cette variation est donnée par la relation (3):

$$\frac{I_{out}}{2} \cdot \frac{dt}{C_1}$$

10 En outre, afin de rendre plus fiable le hacheur selon l'invention, le hacheur série représenté à la figure 9a comporte en parallèle avec la paire P_1 une diode Sc_{-1} en série avec une impédance Z_{-1} , l'anode de la diode Sc_{-1} étant connectée au point de connexion entre la paire P_1 et la paire inférieure P_0, le point commun entre la cathode de la diode Sc_{-1} et 15 l'impédance Z_{-1} étant connecté au point de connexion entre l'interrupteur SB_1 et la self de récupération Lr_{-1} .

En effet, en pratique, le T_{off} ne représente pas parfaitement la demi-période de résonance du circuit équivalent de la figure 10, l'impédance Z_1 permet de dissiper le courant résiduel et protéger les interrupteurs qui sont 20 généralement des transistors MOS. La diode Sc_{-1} est une diode de « roue libre ».

Cette amélioration du hacheur de la figure 9a est applicable dans le cas général, ainsi chaque paire supplémentaire P_i du hacheur selon l'invention comporte en parallèle une diode Sc_i en série avec une 25 impédance Z_i , l'anode de la diode Sc_i étant connectée au point de connexion entre la paire P_i et la paire inférieure P_{i-1} , le point commun entre la cathode de la diode Sc_i et l'impédance Z_i étant connecté au point commun entre l'interrupteur SB_i et la self de récupération Lr_i .

L'impédance Z_i comporte, dans une première version montrée à la 30 figure 9b, une diode Dd en série avec une résistance r , l'anode de la diode Dd étant reliée, dans le circuit du hacheur, à la cathode de la diode Sc_i et dans une seconde version, montrée à la figure 9c, l'impédance Z_i comporte la diode Dd en série avec une diode zénier Dz , les deux cathodes de la diode

Dd et la diode zéner Dz étant reliées entre elles, l'anode de la diode Dd étant reliée, dans le circuit du hacheur, à la cathode de la diode Sc_i.

Les diodes de « roue libre » Sc_1,...Sc_i, la diode D assurant la continuité de courant dans la self de sortie Lout et les diodes Dd des impédances Z_i peuvent être, pour certaines réalisations du hacheur, des diodes au silicium, pour d'autres réalisations, des diodes Schottky .

5

L'explication du fonctionnement du hacheur série comportant la self de récupération Lr_1 à deux paires (K=1) reste valable pour un nombre quelconque de K paires supplémentaires. En effet, les courants dans les 10 différentes paires P_i et dans la self de récupération correspondante Lr_i sont les mêmes, le nombre de capacités élémentaires C dans les groupes mis en série par les interrupteurs étant les mêmes.

Cette structure générale représentée à la figure 2 permet de réaliser simplement différentes autres structures pratiques et de déterminer 15 directement la valeur des capacités dans chaque branche d'entrée ou de sortie.

En effet, comme cela a été dit précédemment, dans la structure générale de la figure 2 comportant des capacités C de même valeur, les tensions Vc aux bornes de chacune des capacités sont les mêmes pour les 20 groupes d'entrée et les mêmes pour les groupes de sortie, de ce fait, les capacités d'un même niveau de potentiel peuvent être connectées en partie ou en totalité en parallèle.

Les capacités d'un même niveau de potentiel Nin_1 sont, par exemple, toutes celles des groupes d'entrée Gin_1, Gin_2,...Gin_i,...Gin_K-25 1, Gin_K ayant une électrode connectée à la borne d'entrée A, d'un niveau de potentiel Nin_2, toutes celles connectées par une électrode aux électrodes libres des capacités du niveau Nin_1 et par l'autre électrode à celles du niveau suivant Nin_3 et ainsi de suite jusqu'au niveau Nin_K.

De même, pour les capacités des groupes de sortie, nous aurons le 30 niveau Nout_1 pour toutes celles des groupes de sortie, Gout_1, Gout_2,...Gout_i,...Gout_K-1, Gout_K connectées au point commun entre les deux interrupteurs de la paire P_0, d'un niveau de potentiel Nout_2 toutes celles connectées par une électrode aux électrodes libres des capacités du niveau Nout_1 et par l'autre électrode à celles du niveau suivant Nout_3 et 35 ainsi de suite jusqu'au niveau Nout_K.

Les traits en pointillés sur le schéma de la figure 2 représentent les connexions possibles entre les capacités C de même valeur.

Dans une première structure pratique représentée à la figure 15 ne comportant pas d'interconnexion entre les capacités d'un même niveau de potentiel, chacun des groupes d'entrée Gin_i ou de sortie $Gout_i$ comporte respectivement une seule capacité $Cea_1, Cea_2, \dots, Cea_i, \dots, Cea_K$ pour le groupe d'entrée Gin_i et $Csa_1, Csa_2, \dots, Csa_i, \dots, Csa_K$ pour les groupes de sortie $Gout_i$. La valeur de chacune de ces capacités d'entrée Cea_i se déduit simplement de la structure générale par le calcul de la capacité résultante de $Ni = (K+1)-i$ capacités C en série, avec $i=1, 2, \dots, K$, i étant l'ordre du groupe d'entrée considéré :

$$\begin{aligned}
 15 \quad Cea_1 &= C/K & i=1 \\
 Cea_2 &= C/(K-1) & i=2 \\
 \dots & & \\
 Cea_i &= C/((K+1)-i) & i \\
 \dots & & \\
 Cea_K &= C & i=K
 \end{aligned}$$

20 La valeur de chacune de ces capacités de sortie Csa_i se déduit simplement de la structure générale par le calcul de la capacité résultante de $Mi=i$ capacités C en série, i étant l'ordre du groupe de sortie considéré :

$$\begin{aligned}
 25 \quad Csa_1 &= C & i=1 \\
 Csa_2 &= C/2 & i=2 \\
 \dots & & \\
 Csa_i &= C/i & i \\
 \dots & & \\
 Csa_K &= C/K & i=K
 \end{aligned}$$

30 Dans une deuxième structure pratique représentée à la figure 16 comportant les interconnexions entre les capacités d'un même niveau Nv de potentiel (capacités en parallèle), la structure comporte un seul groupe d'entrée Gin et un seul groupe de sortie $Gout$. La capacité d'entrée de chacun des niveaux de potentiel Nin_i , i étant l'ordre du niveau de potentiel

considéré en entrée, en parallèle avec sa respective paire P_i sera déduite simplement en calculant la capacité Ceb_i équivalente aux capacités en parallèle du niveau Nin_i considéré, soit :

$$\begin{array}{ll}
 5 \quad Ceb_1 = C.K & i=1 \\
 Ceb_2 = C.(K-1) & i=2 \\
 \dots \\
 Ceb_i = C.((K+1)-i) & i \\
 \dots \\
 10 \quad Ceb_K = C & i=K
 \end{array}$$

La capacité de sortie de chacun des niveaux de potentiel $Nout_i$, en parallèle entre deux paires consécutives paire P_i, P_{i-1} sera déduite simplement en calculant la capacité Csb_i équivalente aux capacités en parallèle du niveau $Nout_i$ considéré, i étant l'ordre du niveau de potentiel en sortie considéré, soit :

$$\begin{array}{ll}
 Csb_1 = C.K & i=1 \\
 Csb_2 = C.(K-1) & i=2 \\
 \dots \\
 Csb_i = C.((K+1)-i) & i \\
 \dots \\
 Csb_K = C & i=K
 \end{array}$$

25 Dans d'autres réalisations on peut, bien entendu, combiner les deux types de réalisations pratiques en mettant des capacités en parallèle pour certains groupes et en série pour d'autres.

La figure 17 représente une variante du hacheur série de la figure 9a selon l'invention. Dans cette variante la self de récupération Lr_1 est 30 remplacée par un transformateur Tr_1 dont le primaire est connecté à la place de la self de récupération entre les deux interrupteurs de la première paire supplémentaire P_1 , le secondaire étant connecté d'un côté aux bornes B et D du hacheur et de l'autre côté à la borne d'entrée A à travers une diode zéner Zb_1 dont la cathode se trouve connectée à ladite borne 35 d'entrée A.

Dans cette variante le transfert d'énergie emmagasinée dans la self du transformateur Tr_1 s'effectue vers la source d'alimentation (capacité C_{in}) et non pas vers les capacités de liaison C comme dans le cas de la réalisation de la figure 9a.

5 Dans un cas général, la réalisation de la figure 17 est applicable à un hacheur comportant plus d'une paire supplémentaire, le hacheur comporte alors K transformateurs de récupération, le primaire d'un transformateur d'ordre Tr_i étant connecté entre les deux interrupteurs de la paire supplémentaire P_i , le secondaire étant connecté d'un côté aux bornes B et D du hacheur et de l'autre côté à la borne d'entrée A à travers une diode zéner Zb_i dont la cathode se trouve connectée à ladite borne d'entrée A .

10 D

15 Dans une autre variante, le transfert d'énergie emmagasinée dans la self de récupération, s'effectue vers la charge de sortie R_{out} , le hacheur selon l'invention comporte K transformateurs de récupération, le primaire d'un transformateur d'ordre Tr_i étant connecté entre les deux interrupteurs de la paire supplémentaire P_i , le secondaire étant connecté d'un côté aux bornes B et D du hacheur et de l'autre côté à la résistance de sortie R_{out} à travers une diode zéner Zb_i dont la cathode se trouve connectée à ladite résistance de sortie, le transfert d'énergie emmagasinée dans la self de récupération s'effectuant vers la charge de sortie R_{out} .

20 Le hacheur série selon l'invention permet d'obtenir des rendements nettement supérieurs au rendements des hacheurs de l'état de l'art avec des rapports de tension V_{out}/V_{in} inférieurs à $1/10$. Pratiquement on obtient des rendements meilleurs d'environ 6% par rapport au hacheur série de l'état de l'art avec des structures adaptables aux différents cas industriels et simples à mettre en œuvre.

25

REVENDICATIONS

1. Hacheur série comportant :

- une paire de bornes d'entrée A et B pour connecter une tension continue d'entrée V_{in} entre ces deux bornes, le potentiel de la borne A étant supérieur au potentiel de la borne B ;

5 - une paire P_0 d'interrupteurs SB, SH en série connectée par l'interrupteur SB à la borne d'entrée B, chaque interrupteur SB, SH comportant une entrée de commande pour être mis simultanément, l'un dans un état passant par l'application à son entrée de commande d'un premier signal de commande, l'autre dans un état isolé par l'application à son entrée 10 de commande d'un second signal de commande complémentaire du premier ;

15 - une paire de bornes de sortie C et D, pour alimenter, par une tension de sortie V_{out} , une charge R_{out} , la borne de sortie D étant connectée à la borne d'entrée B et la borne de sortie C au point de connexion entre les deux interrupteurs SB et SH en série à travers une self de filtrage L_{out} , caractérisé en ce qu'il comporte :

20 - K autres paires supplémentaires $P_1, P_2, \dots, P_i, \dots, P_{K-1}, P_K$ d'interrupteurs en série entre la borne d'entrée A et l'interrupteur SH de la paire P_0 , avec $i = 1, 2, \dots, K-1, K$, les deux interrupteurs d'une même paire supplémentaire P_i étant connectés en série à travers une self de récupération d'énergie L_{r_i} ;

25 - K groupes d'entrée, $Gin_1, Gin_2, \dots, Gin_i, \dots, Gin_{K-1}, Gin_K$, de N_i capacités C de même valeur en série chacun, avec $i = 1, 2, \dots, K-1, K$ et $N_i = (K+1)-i$, l'électrode des capacités d'une des deux extrémités de chaque groupe d'entrée $Gin_1, Gin_2, \dots, Gin_i, \dots, Gin_{K-1}, Gin_K$ étant connectée à la borne d'entrée A, au moins l'électrode des capacités de chacune des autres extrémités des groupes d'entrée $Gin_1, Gin_2, \dots, Gin_i, \dots, Gin_{K-1}, Gin_K$ étant connectée respectivement au point de connexion entre deux paires d'interrupteurs consécutives $P_{(i-1)}$ et P_i ;

30 - K groupes de sortie, $Gout_1, Gout_2, \dots, Gout_i, \dots, Gout_{K-1}, Gout_K$, de M_i capacités C de même valeur en série chacun, avec $i = 1, 2, \dots, K$ et $M_i = i$, l'électrode des capacités d'une des deux extrémités de chaque groupe de sortie $Gout_1, Gout_2, \dots, Gout_i, \dots, Gout_{K-1}, Gout_K$ étant connectée au

point commun entre les deux interrupteurs de la paire P_0, au moins l'électrode des capacités de chacune des autres extrémités des groupes de sortie Gout_1, Gout_2,...Gout_i,...Gout_K étant connectée respectivement au point commun entre chaque interrupteur SH_i et la self de récupération Lr_i de la paire correspondante P_i de même rang i,

en ce que les interrupteurs de ces autres K paires supplémentaires sont commandés simultanément par les premiers et seconds signaux de commande complémentaires formant, lorsque l'interrupteur SB de la paire P_0 relié à la borne B est commandé dans l'état passant pendant un temps Toff, un premier réseau de capacités connecté entre la borne A et la borne B, comportant les groupes de capacités d'entrée en série avec les groupes de capacités de sortie tels qu'un groupe de capacités d'entrée Gin_i est en série, à travers sa respective self de récupération d'énergie Lr_i, avec son respectif groupe de capacités de sortie Gout_i,

et en ce que lorsque l'interrupteur SB de la paire P_0 relié à la borne d'entrée B est commandé dans l'état isolé, SH étant commandé à l'état passant, pendant un temps Ton, ces autres K paires d'interrupteurs forment un second réseau de capacités connecté entre la borne A et la self de filtrage de sortie Lout comportant le groupe d'entrée Gin_1 en parallèle avec le groupe de sortie Gout_K, en parallèle avec des groupes de capacités d'entrée en série avec des groupes de capacités de sortie tels qu'un groupe de capacités d'entrée Gin_i se trouve en série avec un groupe de capacités de sortie Gout_(i-1).

2. Hacheur série selon la revendication 1, caractérisé en ce que chaque paire supplémentaire P_i du hacheur comporte en parallèle une diode Sc_i en série avec une impédance Z_i, l'anode de la diode Sc_1 étant connectée au point de connexion entre la paire P_i et la paire inférieure P_{i-1}, le point commun entre la cathode de la diode Sc_1 et l'impédance Z_i étant connecté au point commun entre l'interrupteur SB_i et la self de récupération Lr_i.

3. Hacheur série selon la revendication 2, caractérisé en ce que L'impédance Z_i comporte une diode Dd en série avec une résistance r

l'anode de la diode Dd étant reliée, dans le circuit du hacheur, à la cathode de la diode Sc_i..

4. Hacheur série selon la revendication 2, caractérisé en ce que
 5 l'impédance Z_i comporte la diode Dd en série avec une diode zéner Dz, les deux cathodes de la diode Dd et la diode zéner Dz étant reliées entre elles, l'anode de la diode Dd étant reliée, dans le circuit du hacheur, à la cathode de la diode Sc_i..

10 5. Hacheur série selon l'une des revendications 1 à 4, caractérisé en ce qu'il ne comporte pas d'interconnexion entre les capacités d'un même niveau de potentiel, chacun des groupes d'entrée Gin_i ou de sortie $Gout_i$ comportant respectivement une seule capacité $Cea_1, Cea_2 ; \dots Cea_i \dots$
 15 Ce_K pour le groupe d'entrée Gin_i et $Csa_1, Csa_2 ; \dots Csa_i \dots Csa_K$. pour les groupes de sortie $Gout_i$ et en ce que la valeur de chacune de ces capacités d'entrée Ce_i se déduit par le calcul de la capacité résultante de

$Ni = (K+1)-i$ capacités C en série, avec $i=1, 2, \dots, K$, i étant l'ordre du groupe d'entrée considéré :

20 $Cea_1 = C/K$ $i=1$
 $Cea_2 = C/(K-1)$ $i=2$

....

$Cea_i = C/((K+1)-i)$ i

.....

25 $Cea_K = C$ $i=K$

en ce que valeur de chacune de ces capacités de sortie Csa_i se déduit par le calcul de la capacité résultante de $Mi=i$ capacités C en série, i étant l'ordre du groupe de sortie considéré :

30 $Csa_1 = C$ $i=1$
 $Csa_2 = C/2$ $i=2$

....

$Csa_i = C/i$ i

35

$$C_{sa_K} = C/K \quad i=K$$

6. Hacheur série selon l'une des revendications 1 à 4, caractérisé en ce qu'il comporte des interconnexions entre les capacités d'un même niveau

5 Nv de potentiel, la structure comportant un seul groupe d'entrée G_{in} et un seul groupe de sortie G_{out} , la capacité d'entrée de chacun des niveaux de potentiel N_{in_i} , i étant l'ordre du niveau de potentiel considéré en entrée, en parallèle avec sa respective paire P_i est déduite par le calcul de la capacité C_{eb_i} équivalente aux capacités en parallèle du niveau N_{in_i} considéré,

10 soit :

:

$$C_{eb_1} = C \cdot K \quad i=1$$

$$C_{eb_2} = C \cdot (K-1) \quad i=2$$

15

$$C_{eb_i} = C \cdot ((K+1)-i) \quad i$$

.....

$$C_{eb_K} = C \quad i=K$$

20 En ce que la capacité de sortie de chacun des niveaux de potentiel N_{out_i} , en parallèle entre deux paires consécutives paire P_i, P_{i-1} est déduite en calculant la capacité C_{sb_i} équivalente aux capacités en parallèle du niveau N_{out_i} considéré, i étant l'ordre du niveau de potentiel en sortie considéré soit :

25

$$C_{sb_1} = C \cdot K \quad i=1$$

$$C_{sb_2} = C \cdot (K-1) \quad i=2$$

....

$$C_{sb_i} = C \cdot ((K+1)-i) \quad i$$

30

$$C_{sb_K} = C \quad i=K$$

7. Hacheur série selon l'une des revendications 1 à 4, caractérisé en ce qu'il comporte de combinaisons de capacités en parallèle pour certains groupes et en série pour d'autres.

8. Hacheur série selon l'une des revendications 1 à 7, caractérisé en ce qu'il comporte K transformateurs de récupération, le primaire d'un transformateur d'ordre Tr_i étant connecté entre les deux interrupteurs de la paire supplémentaire P_i , le secondaire étant connecté d'un côté aux bornes B et D du hacheur et de l'autre côté à la borne d'entrée A à travers une diode zéner Zb_i dont la cathode se trouve connectée à ladite borne d'entrée A.

9. Hacheur série selon l'une des revendications 1 à 7, caractérisé en ce qu'il comporte K transformateurs de récupération, le primaire d'un transformateur d'ordre Tr_i étant connecté entre les deux interrupteurs de la paire supplémentaire P_i , le secondaire étant connecté d'un côté aux bornes B et D du hacheur et de l'autre côté à la résistance de sortie $Rout$ à travers une diode zéner Zb_i dont la cathode se trouve connectée à ladite résistance de sortie, le transfert d'énergie emmagasinée dans la self, s'effectuant vers la charge de sortie $Rout$.

10. Hacheur série selon l'une des revendications 1 à 9, caractérisé en ce qu'il comporte une diode D de retour de courant aux bornes de l'interrupteur SB dont l'anode est connectée du côté des bornes B et D et une capacité $Cout$ de filtrage de sortie en parallèle sur la charge $Rout$ entre les bornes de sortie C et D.

11. Hacheur série selon l'une des revendications 1 à 10, caractérisé en ce que les diodes de « roue libre » Sc_1, \dots, Sc_i , la diode D assurant la continuité de courant dans la self de sortie $Lout$ et les diodes Dd des impédance Z_i sont des diodes au silicium.

12. Hacheur série selon l'une des revendications 1 à 9, caractérisé en ce que les diodes de « roue libre » Sc_1, \dots, Sc_i , la diode D assurant la continuité de courant dans la self de sortie $Lout$ et les diodes Dd des impédance Z_i sont des diodes Schottky.

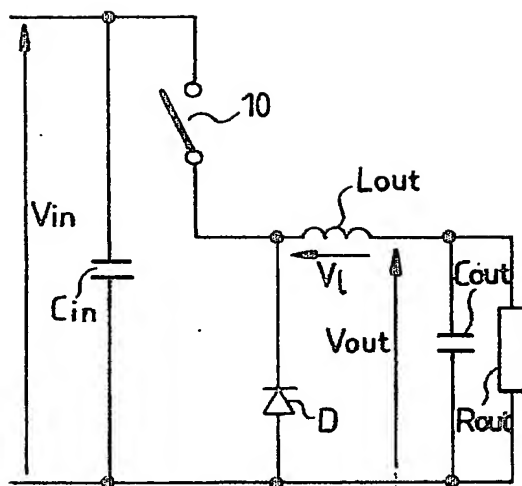


FIG.1a

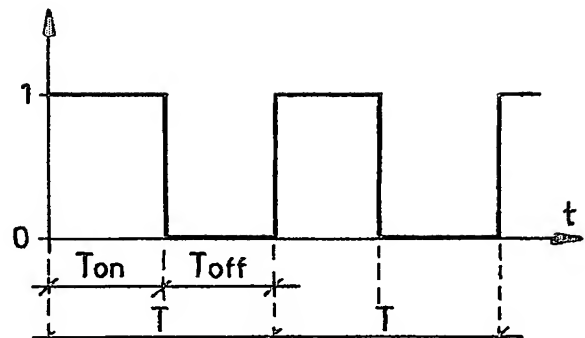


FIG.1b

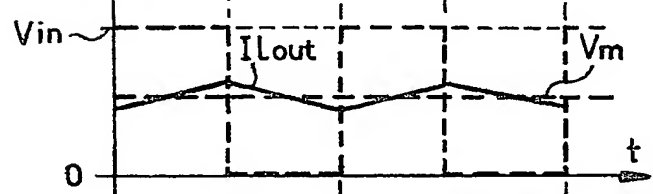


FIG.1c

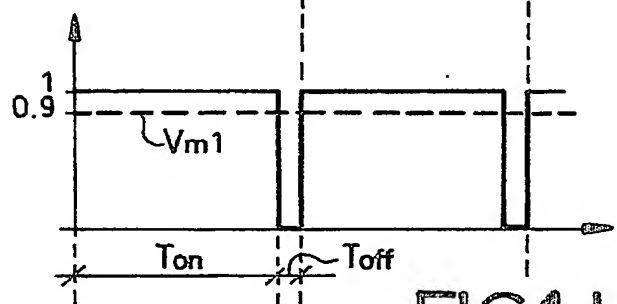


FIG.1d

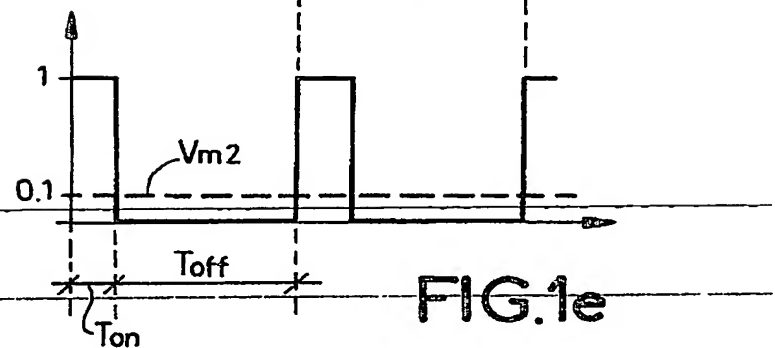


FIG.1e

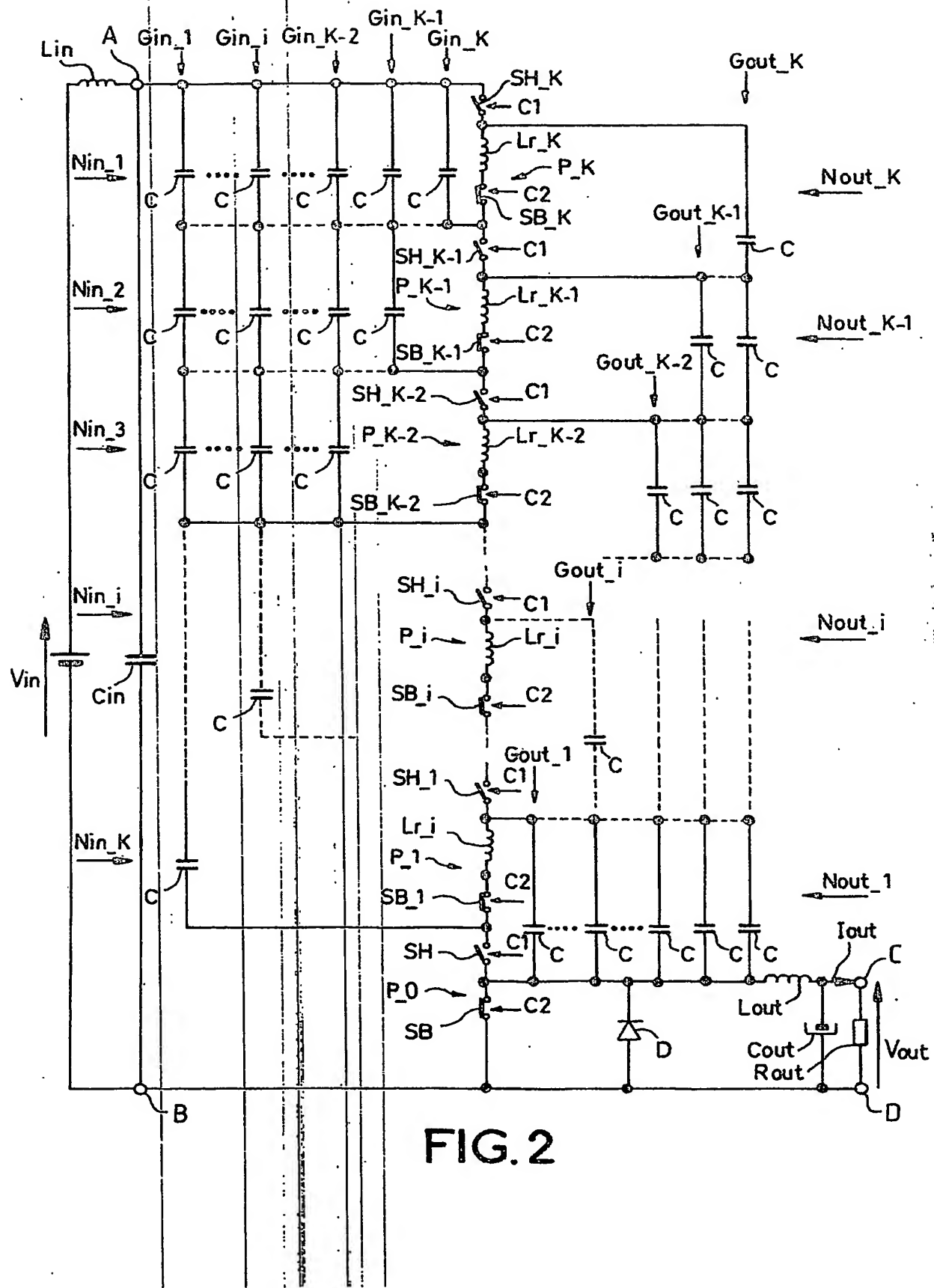


FIG. 2

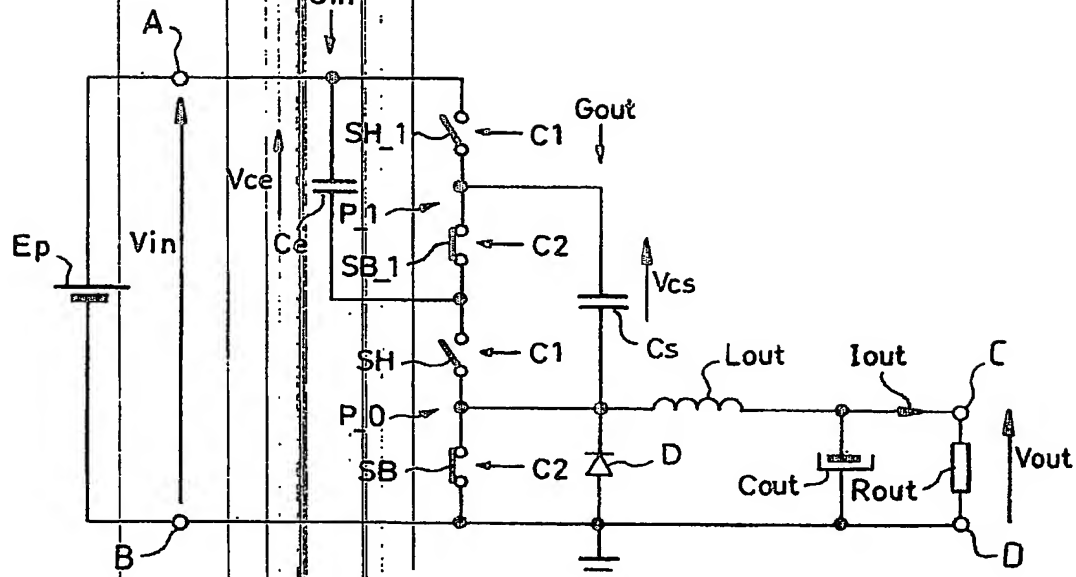


FIG. 3

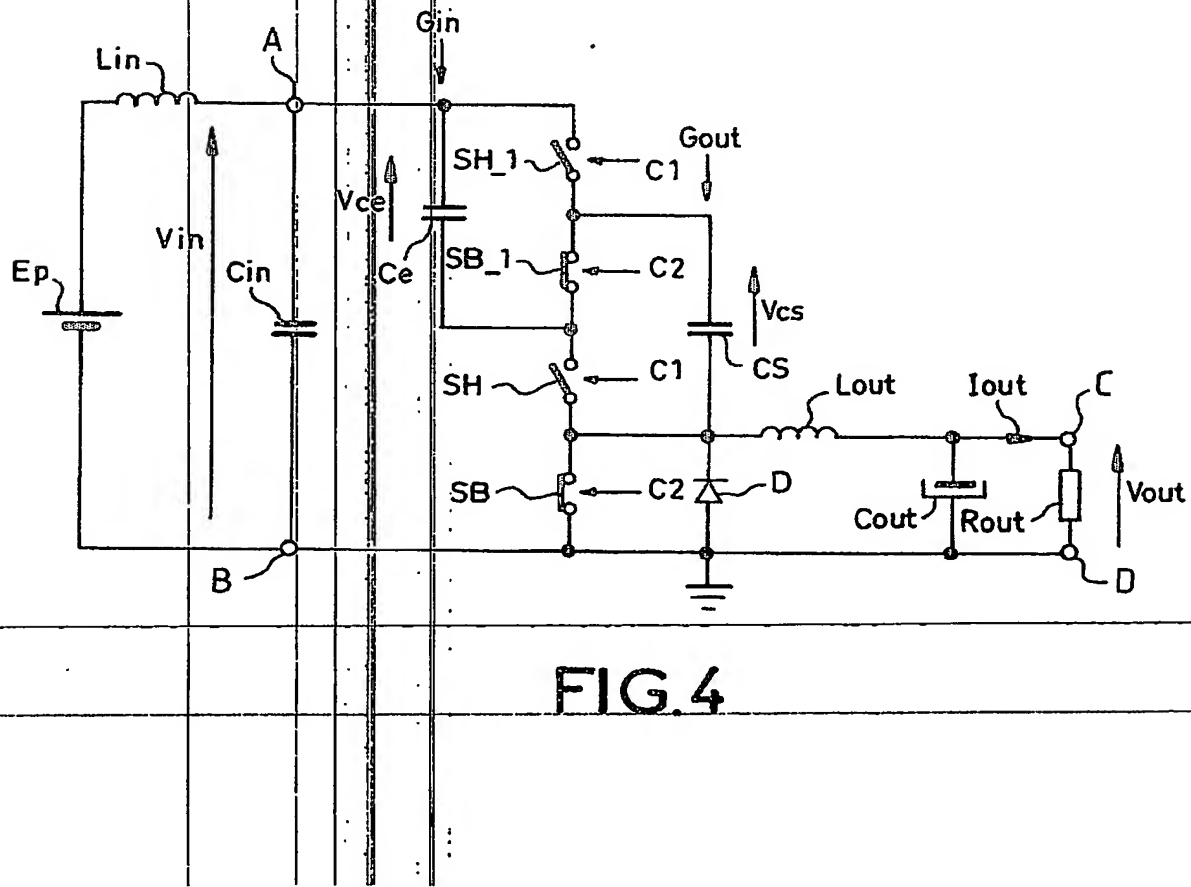


FIG. 4

4/10

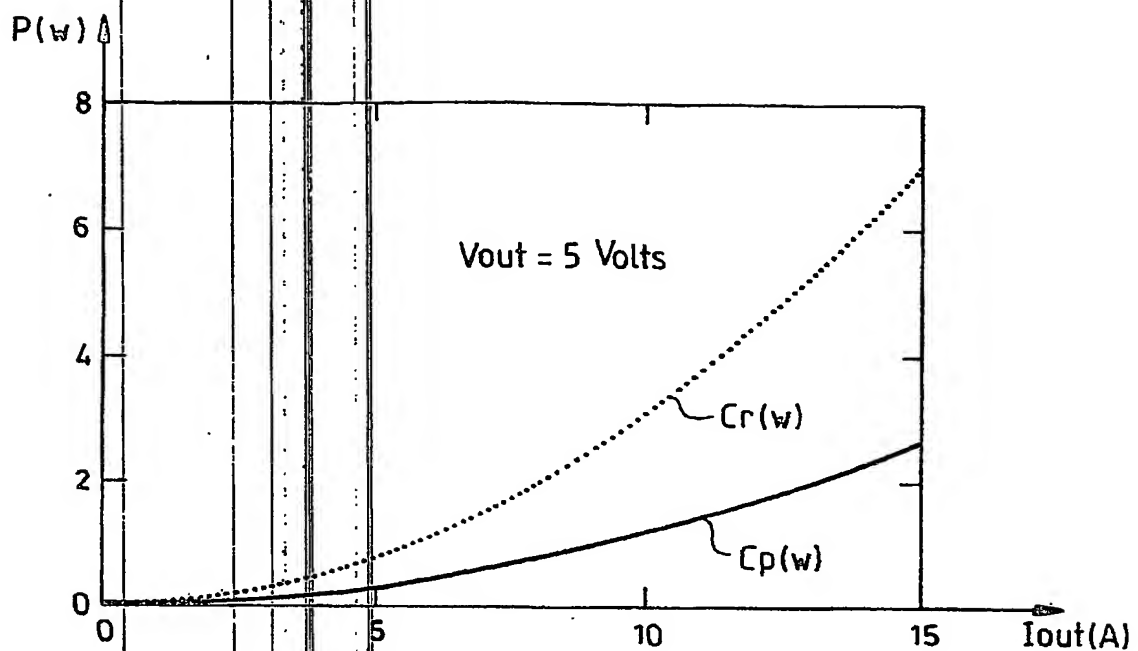


FIG.5

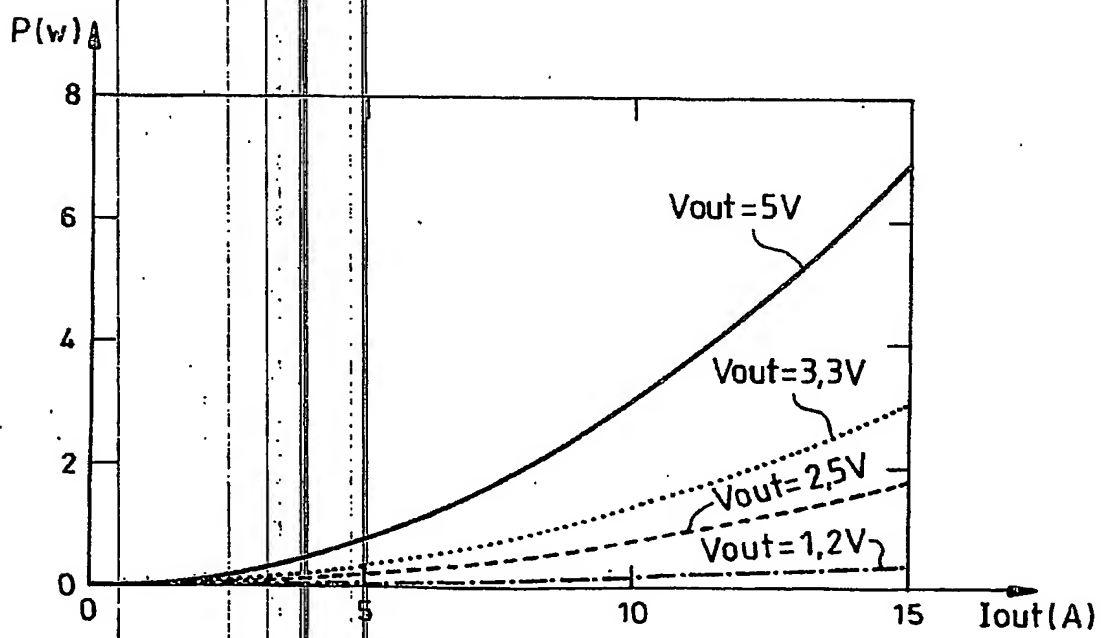


FIG.6

5/10

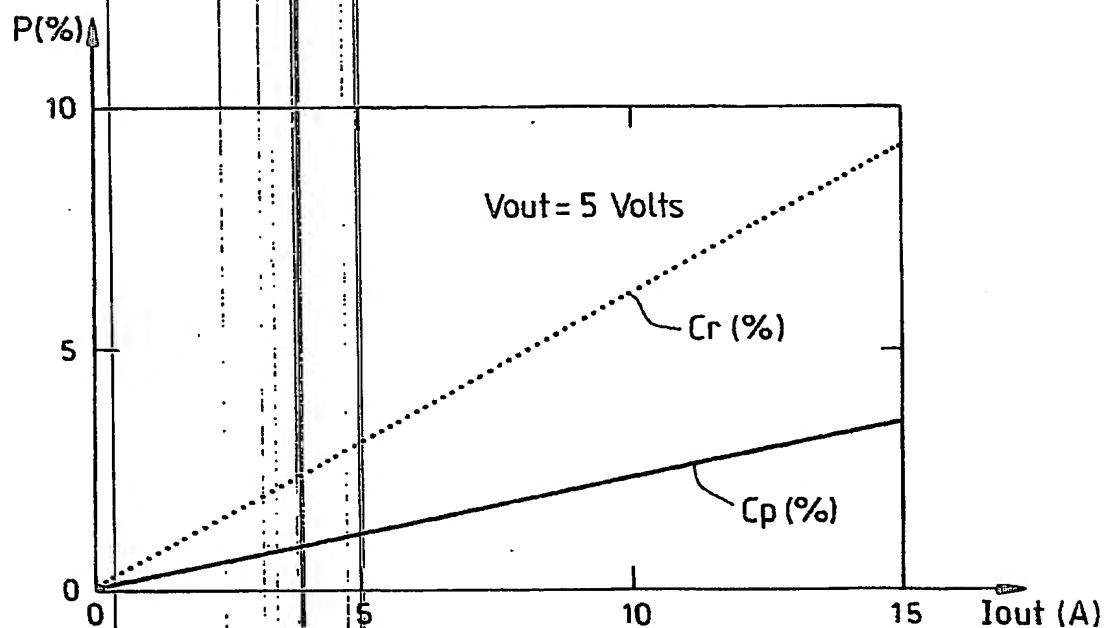


FIG.7

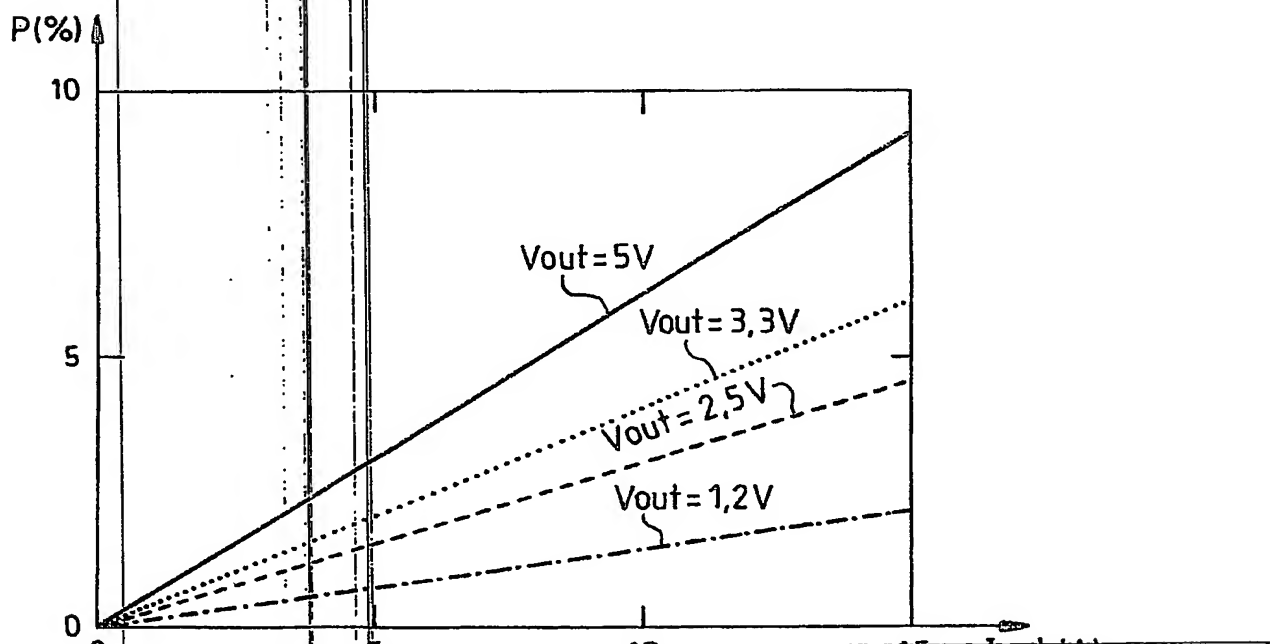


FIG.8

6/10

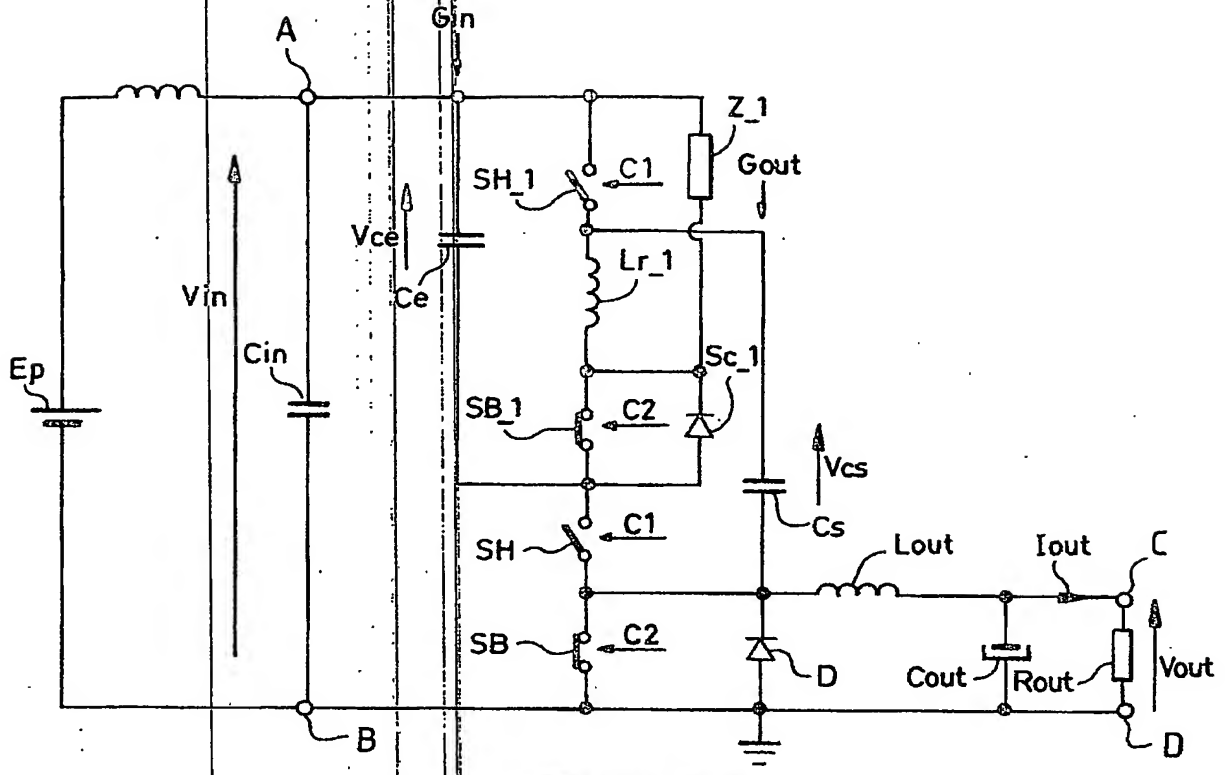


FIG. 9a

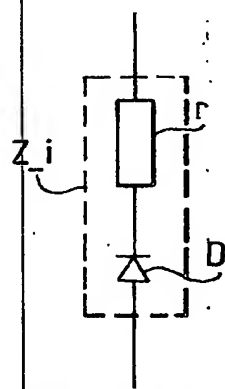


FIG. 9b

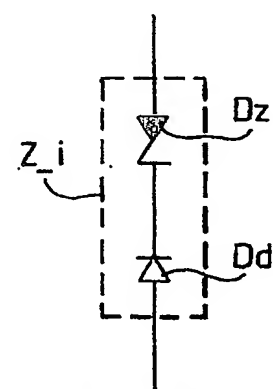


FIG. 9c

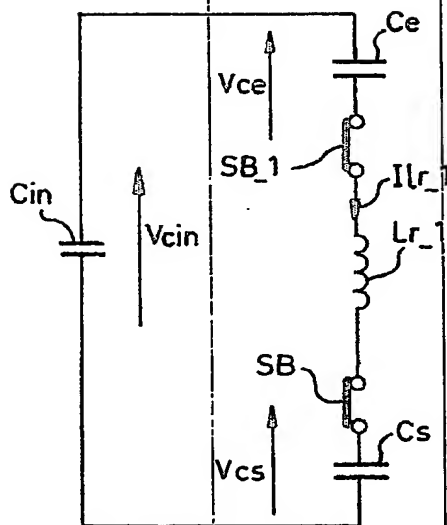


FIG.10

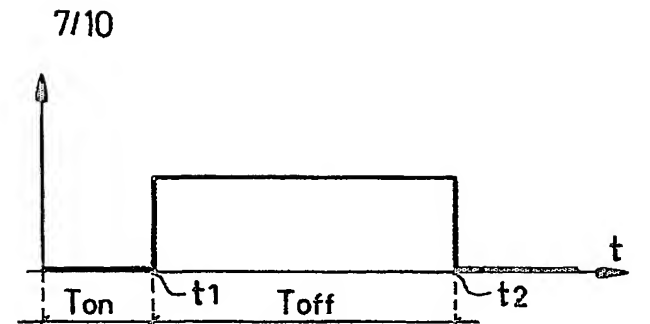


FIG.11

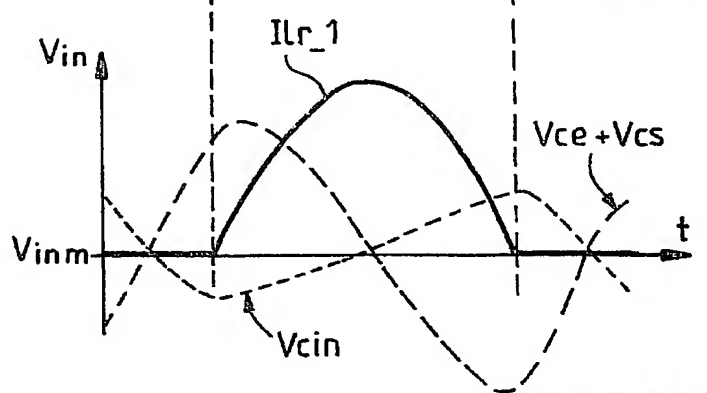


FIG.12

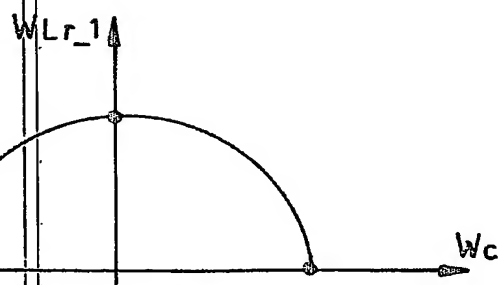


FIG.13

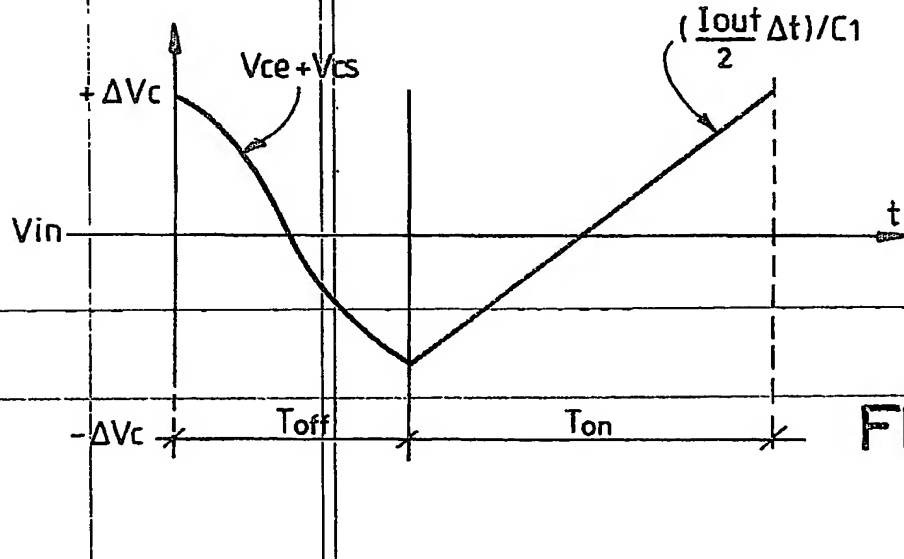


FIG.14

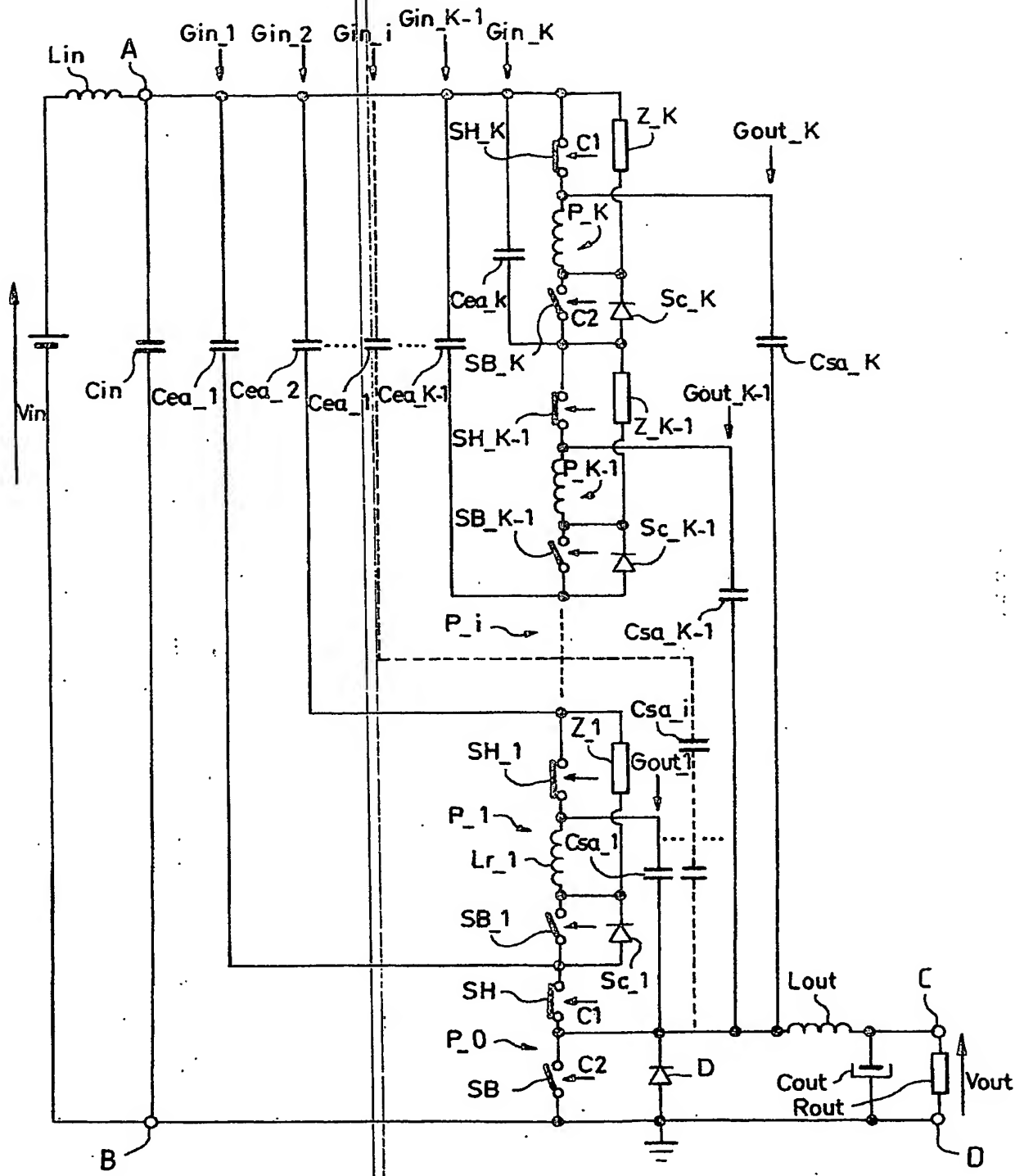


FIG.15

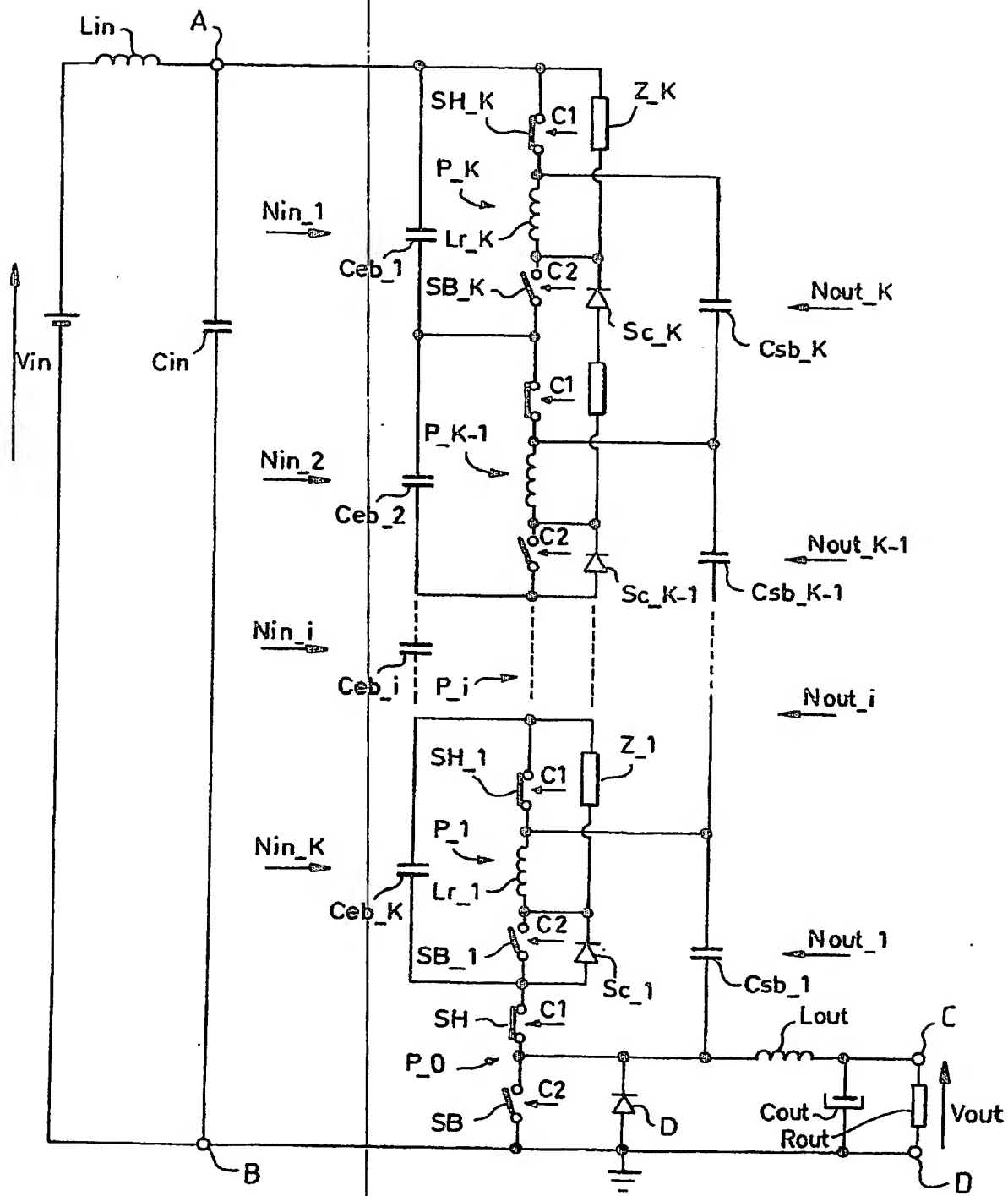


FIG. 16

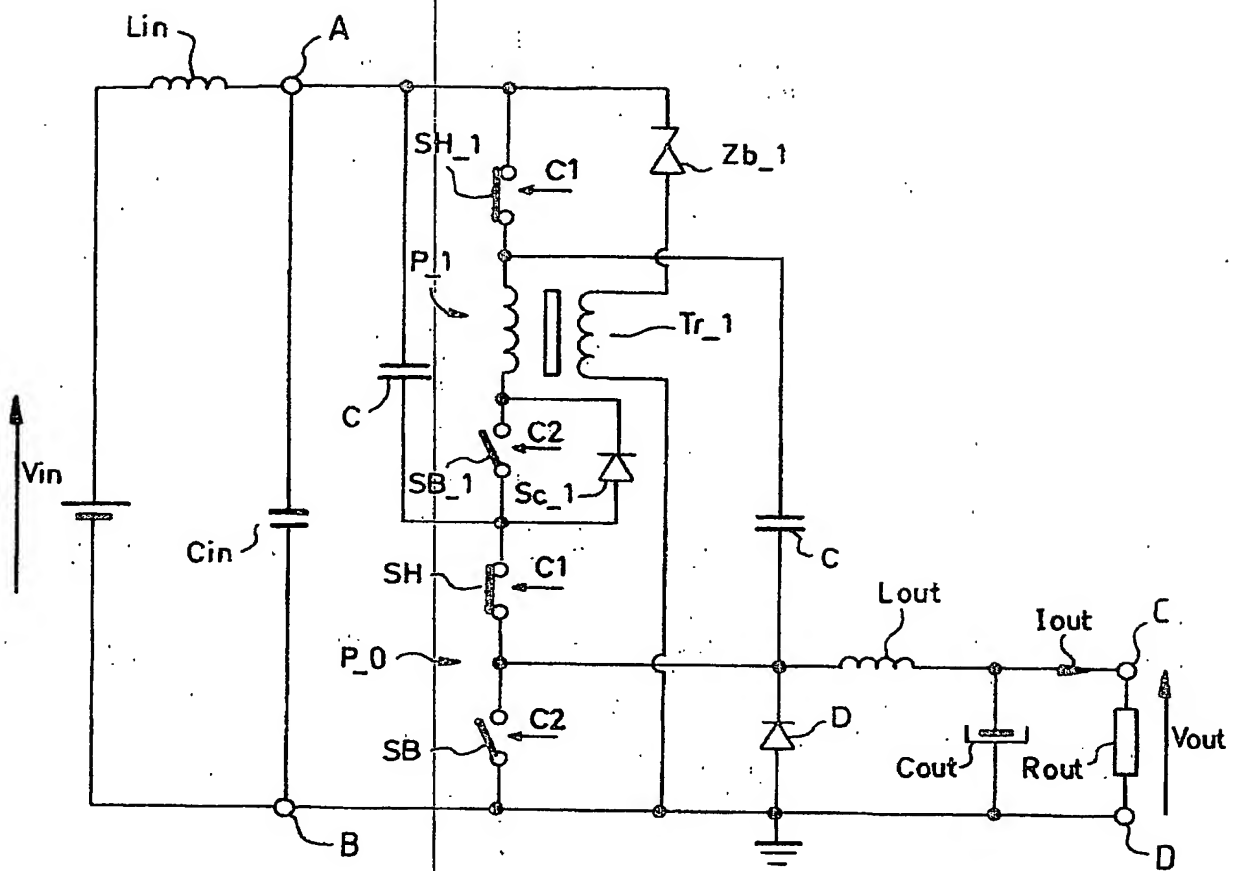


FIG.17

DÉPARTEMENT DES BREVETS

26 bis, rue de Saint Pétersbourg
75800 Paris Cedex 08
Téléphone : 01 53 04 53 04 Télécopie : 01 42 93 59 30

BREVET D'INVENTION

CERTIFICAT D'UTILITÉ

Code de la propriété intellectuelle - Livre VI

DÉSIGNATION D'INVENTEUR(S) Page N° 1.../1..

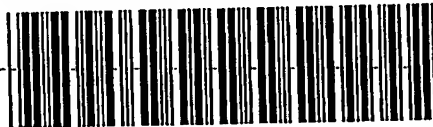
(Si le demandeur n'est pas l'inventeur ou l'unique inventeur)

Cet imprimé est à remplir lisiblement à l'encre noire

DB 113 W/26089

Vos références pour ce dossier (facultatif)	63008	
N° D'ENREGISTREMENT NATIONAL	0303305	
TITRE DE L'INVENTION (200 caractères ou espaces maximum)		
HACHEUR SERIE A COMMUTATION SYNCHRONE ET FAIBLES PERTES		
LE(S) DEMANDEUR(S) :		
THALES		
DESIGNE(NT) EN TANT QU'INVENTEUR(S) : (Indiquez en haut à droite «Page N° 1/1» S'il y a plus de trois inventeurs, utilisez un formulaire identique et numérotez chaque page en indiquant le nombre total de pages).		
Nom		TAURAND
Prénoms		Christophe
Adresse	Rue	THALES - INTELLECTUAL PROPERTY 31-33, Avenue Aristide Briand
	Code postal et ville	94117 ARCUEIL CEDEX
Société d'appartenance (facultatif)		
Nom		
Prénoms		
Adresse	Rue	
	Code postal et ville	
Société d'appartenance (facultatif)		
Nom		
Prénoms		
Adresse	Rue	
	Code postal et ville	
Société d'appartenance (facultatif)		
DATE ET SIGNATURE(S)		
DU (DES) DEMANDEUR(S)		
OU DU MANDATAIRE		
(Nom et qualité du signataire)		
 Mariano DOMINGUEZ 18 MARS 2003		

PCT/FR2004/000091



**This Page is Inserted by IFW Indexing and Scanning
Operations and is not part of the Official Record**

BEST AVAILABLE IMAGES

Defective images within this document are accurate representations of the original documents submitted by the applicant.

Defects in the images include but are not limited to the items checked:

BLACK BORDERS

IMAGE CUT OFF AT TOP, BOTTOM OR SIDES

FADED TEXT OR DRAWING

BLURRED OR ILLEGIBLE TEXT OR DRAWING

SKEWED/SLANTED IMAGES

COLOR OR BLACK AND WHITE PHOTOGRAPHS

GRAY SCALE DOCUMENTS

LINES OR MARKS ON ORIGINAL DOCUMENT

REFERENCE(S) OR EXHIBIT(S) SUBMITTED ARE POOR QUALITY

OTHER: _____

IMAGES ARE BEST AVAILABLE COPY.

As rescanning these documents will not correct the image problems checked, please do not report these problems to the IFW Image Problem Mailbox.